

การศึกษาระบบผนังภายนอกอาคารที่มีผลต่อภาระการปรับอากาศ

กรณีศึกษา สำหรับภูมิอากาศร้อนชื้นในประเทศไทย



นายกิตติพงษ์ เพชรวราวา

วิทยานิพนธ์นี้เป็นส่วนหนึ่งของการศึกษาตามหลักสูตรปริญญาสาขาวิชาปัจยกรรมศาสตรมหาบัณฑิต

ภาควิชาสถาปัตยกรรม

บัณฑิตวิทยาลัย จุฬาลงกรณ์มหาวิทยาลัย

พ.ศ. 2537

ISBN 974-584-592-2

ลิขสิทธิ์ของบัณฑิตวิทยาลัย จุฬาลงกรณ์มหาวิทยาลัย

工 15228939

**THE INVESTIGATION OF COOLING LOAD FOR EXTERIOR WALL SYSTEMS**

**A CASE STUDY OF HOT-HUMID CLIMATE IN THAILAND**

Mr. Kittipong Petchvarapa

A Thesis Submitted in Partial Fulfillment of the Requirements

for the Degree of Master of Architecture

Department of Architecture

Graduate School

Chulalongkorn University

1994

ISBN 974-584-592-2



หัวข้อวิทยานิพนธ์ การศึกษาระบบผนังภายนอกอาคารที่มีผลต่อภาระการปรับอากาศ  
กรณีศึกษา สำหรับภูมิอากาศร้อนชื้นในประเทศไทย  
โดย นายกิตติพงษ์ เพชรวราวา  
ภาควิชา สถาปัตยกรรมศาสตร์  
อาจารย์ที่ปรึกษา รองศาสตราจารย์ ดร. สุนทร บุญญาธิกิริ

---

บันทึกวิทยาลัย จุฬาลงกรณ์มหาวิทยาลัย อนุมัติให้นับวิทยานิพนธ์ ฉบับนี้เป็นส่วนหนึ่ง  
ของการศึกษา ตามหลักสูตรปริญญามหาบัณฑิต

.....  
.....  
(ศาสตราจารย์ ดร. ถาวร วัชราภัย)

คณะกรรมการสอบวิทยานิพนธ์

.....  
.....  
(รองศาสตราจารย์ ดร. วีระ สัจกุล)  
.....  
(รองศาสตราจารย์ ดร. สุนทร บุญญาธิกิริ)

.....  
.....  
(รองศาสตราจารย์ สมสิทธิ์ นิตยะ)

.....  
.....  
(อาจารย์ ชนิด จินดาภรณ์)

กิตติพงษ์ เพชรaruaga : การศึกษา ระบบผนังภายนอกอาคาร ที่มีผลต่อการปรับอากาศ (THE INVESTIGATION OF COOLING LOAD FOR EXTERIOR WALL SYSTEMS: A CASE STUDY OF HOT-HUMID CLIMATE IN THAILAND) อาจารย์ที่ปรึกษา : รองศาสตราจารย์ ดร. สุนทร บุญญาธิการ, 159 หน้า.  
ISBN 974-584-592-2

วิทยานิพนธ์นี้ เป็นการศึกษาคุณสมบัติการป้องกันความร้อนเข้าสู่อาคารของวัสดุก่อสร้างผนังภายนอก เพื่อเป็นแนวทางการเลือกใช้ผนังที่สามารถลดภาระการปรับอากาศ มีความเป็นไปได้ในการก่อสร้างทั้งด้านระบบโครง สร้าง และการลงทุน และเหมาะสมกับลักษณะภูมิอากาศในประเทศไทย

แนวทางการวิจัย เริ่มต้นด้วยการจัดกลุ่มผนังเป็น 4 กลุ่ม แบ่งตามคุณสมบัติค่าสัมประสิทธิ์การถ่ายเทความร้อน (U-Value) และมวลของวัสดุ ผนังทึ่งสีก่อมุ่นได้แก่ ผนังที่มีค่า U ต่ำ และมีมวลน้อย, ผนังที่มีค่า U ต่ำ และมีมวลมาก, ผนังที่มีค่า U สูง และมีมวลน้อย และกลุ่มสุดท้ายได้แก่ ผนังที่มีค่า U สูง และมีมวลมาก การดำเนินการวิจัยเริ่มจากการติดตั้งตัวอย่างผนังทดสอบ ขนาด 2x2 ตร.ฟุต ลงบนผนังอาคารทดสอบที่หันหน้าทางทิศใต้ ควบคุมอุณหภูมิของห้องทดสอบด้วยระบบเครื่องปรับอากาศชนิดแยกส่วน ที่อุณหภูมิ 21 องศาเซลเซียส ทำการวัดค่าอุณหภูมิที่ตัวแปรเปรียบที่ยืน ด้วยเครื่องมือวัดที่มีความเที่ยงตรงต่อเนื่องเป็นเวลา 2 สัปดาห์ จากนั้นทำการวิเคราะห์เปรียบเทียบคุณสมบัติการป้องกันความร้อน, ความสิ้นเปลืองพลังงานในการใช้วัสดุแต่ละประเภท

ผลการวิจัยสามารถแสดงให้เห็นว่าก่อมุ่นผนังที่มีค่า U-Value อยู่ระหว่าง 0.10-0.20 Btu/Ft<sup>2</sup>·h และมีมวลไม่เกิน 6 ปอนด์/ตร.ฟุต สามารถลดภาระการปรับอากาศในส่วนของปริมาณความร้อนที่ถ่ายเทผ่านผนังภายนอกได้ถึงร้อยละ 60 เมื่อเทียบกับผนังก่ออิฐ混ปูนหนา 4 นิ้ว โดยเปรียบเทียบด้วยมูลค่าพลังงานที่ต้องใช้ในส่วนการปรับอากาศสำหรับอาคารในประเทศไทย



ภาควิชา .....สถาปัตยกรรมศาสตร์.....  
สาขาวิชา.....สถาปัตยกรรมหลัง.....  
ปีการศึกษา.....2536.....

ลายมือชื่อนิสิต .....  
ลายมือชื่ออาจารย์ที่ปรึกษา.....  
ลายมือชื่ออาจารย์ที่ปรึกษาร่วม.....

## C535042 : MAJOR ARCHITECTURE

KEY WORD : EXTERIOR WALL - COOLING LOAD

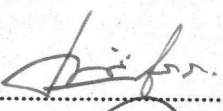
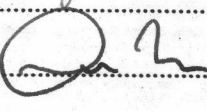
KITTIPONG PETCHVARAPA : THE INVESTIGATION OF COOLING LOAD FOR EXTERIOR WALL SYSTEMS: A CASE STUDY OF HOT-HUMID CLIMATE IN THAILAND. THESIS ADVISOR : ASSO. PROF. SOONTORN BOONYATIKARN, Ph.D. 159 pp. ISBN 974-584-592-2

This thesis is a study of the performance of exterior wall systems to protect heat transfer the exterior environment into the building. The performance of exterior wall systems is used for selection of wall material that reduce the cooling load of the air-conditioning system, while maintain economical feasibility, practical in construction and suitability for hot-humid climate in Thailand.

Types of wall systems are categorized in four groups by two factors heat transmission coefficient (U-Value) and mass. The four categories of wall systems are wall systems with low heat transmission coefficient and light construction, wall systems with low heat transmission coefficient and heavy construction, wall systems with high heat transmission coefficient and light construction and wall systems with high heat transmission coefficient and heavy construction. The experiment of the research is conducted by installing samples of those wall systems,  $2 \times 2 \text{ ft}^2$ , on the wall of a test building facing South. The air temperature inside the test building is controlled at  $21^\circ\text{C}$  by a mechanical system. Temperatures at various points of the experiment are monitored by scientific instruments consecutively for two weeks. Then, the data of the experiment are analyzed to compare the thermal performance and energy consumption of each sample.

The result of the research indicates that the wall systems that have  $0.10\text{-}0.20 \text{ Btu/Ft}^2 \cdot \text{H}$  U-value and that have mass below six pounds per square feet can reduces cooling load of wall conduction heat gain by 60 percent comparing with four inches thick brick wall, convention wall. Compared with annual energy consumption, that wall systems are appropriate for using in building in Thailand.

ภาควิชา ..... สถาปัตยกรรมศาสตร์ .....  
สาขาวิชา ..... สถาปัตยกรรมหลังค้า .....  
ปีการศึกษา ..... 2536 .....

ลายมือชื่อนิสิต .....   
ลายมือชื่ออาจารย์ที่ปรึกษา .....   
ลายมือชื่ออาจารย์ที่ปรึกษาร่วม .....



## กิตติกรรมประกาศ

วิทยานิพนธ์ฉบับนี้ ได้สำเร็จลุล่วงไปได้ด้วยการสนับสนุนอย่างสูงจาก รองศาสตราจารย์ ดร. สุนทร บุญญาธิกา อาจารย์ที่ปรึกษาวิทยานิพนธ์ รองศาสตราจารย์ สมลิก้า นิตยะ และ อาจารย์ ชนิต จินดาวนิค ซึ่งท่านได้ร่วมให้คำแนะนำ และข้อคิดเห็นต่าง ๆ ตลอดการวิจัย และ พตอ. โสภณ มณีพันธ์ รองผู้บังคับการ กองทะเบียน กรมตำรวจ ซึ่งได้กรุณาให้ใช้สถานที่ในการทดลอง บริษัท ไทยผลิตภัณฑ์ยิบซัม จำกัด ได้จัดทำดำเนินการอย่างผนังทดสอบ จึงขอขอบพระคุณมา ณ ที่นี่ด้วย

นอกจากนี้ ประกอบด้วยความกรุณาของบุคคลที่กล่าวมาแล้ว ยังต้องขอขอบพระคุณอย่างสูงต่อ ความร่วมมือช่วยเหลือเป็นอย่างดี จากเพื่อน ๆ ร่วมงานในบริษัท เพบรัวร์ กรุ๊ป จำกัด คุณบงกชรัตน์ สถาพร ผู้ช่วยเรียนรู้ จัดเตรียมข้อมูล และให้คำปรึกษาในด้านภาษาอังกฤษ ตลอดจนเป็นกำลังใจ ในการทำงานเสมอมา

ท้ายนี้ ผู้วิจัย ได้ขอรับความกรุณาของบุคคลที่กล่าวมาแล้ว ยังต้องขอขอบพระคุณบิดา-มารดา ซึ่งสนับสนุนและให้กำลังใจแก่ผู้วิจัย เสมอมาจนสำเร็จการศึกษา



## สารบัญ

หน้า

บทคัดย่อภาษาไทย .....	๑
บทคัดย่อภาษาอังกฤษ .....	๑
กิตติกรรมประกาศ .....	๑
สารบัญตาราง .....	๒
สารบัญภาพ .....	๒
สารบัญกราฟ .....	๓
คำอธิบายลัญญาลักษณ์และคำย่อ .....	๔
บทที่ 1 บทนำ .....	๑
บทที่ 2 การหาค่าความร้อนผ่านผนังภายนอกเข้าสู่อาคาร .....	๑๑
บทที่ 3 การทดสอบ คุณสมบัติการป้องกันความร้อนเข้าสู่อาคารของวัสดุก่อสร้างผนัง .....	๑๕
บทที่ 4 การวิเคราะห์ผลการทดสอบ .....	๔๕
บทที่ 5 บทสรุป .....	๑๐๒
เอกสารอ้างอิง .....	๑๐๗
ภาคผนวก .....	๑๐๘
ประวัติผู้เขียน .....	๑๕๙

## สารบัญตาราง

ตารางที่	หน้า
2.1 แสดงคุณสมบัติทางกายภาพของวัสดุทดสอบ .....	18
3.1 ตารางคำนวnc่าปริมาณความร้อนที่ถ่ายเทผ่านผนัง (1) .....	26
3.2 ตารางคำนวnc่าปริมาณความร้อนที่ถ่ายเทผ่านผนัง (2) .....	27
3.3 ตารางคำนวnc่าปริมาณความร้อนที่ถ่ายเทผ่านผนัง (3) .....	28
4.1 ตารางแสดงค่าอุณหภูมิแตกต่างระหว่างผิวภายในและอุณหภูมิห้อง .....	70
4.2 ตารางคำนวnc่า Heat Gain โดยวิธีวัดจริง .....	71
4.3 ตารางคำนวnc่า Heat Gain โดยวิธีคำนวณ .....	73
4.4 ตารางการเปรียบเทียบ Heat Gain ระหว่างการวัดจริงและการคำนวณ.....	75
4.5 ตารางเปรียบเทียบ Heat Gain ของผนังทดสอบ .....	90
4.6 ตารางเปรียบเทียบ Energy Consumption ของผนังทดสอบ.....	91
4.7 ตารางเปรียบเทียบ Energy Cost ของผนังทดสอบ.....	92

## สารบัญภาพ

รูปที่	หน้า
2.1 แสดงการถ่ายเทความร้อนจากภายนอกผ่านผนังสู่ภายในอาคาร .....	11
3.1 รูปตัด Armour Wall .....	19
3.2 รูปตัด Wooden Wall.....	19
3.3 รูปตัด Alucobond Wall.....	20
3.4 รูปตัด Masonry Wall 4" Thk. with ICC .....	20
3.5 รูปตัด GRC. Wall.....	21
3.6 รูปตัด Masonry Wall 4" Thk.....	21
3.7 รูปตัด Masonry Wall 8" Thk.....	22
3.8 รูปตัด Clear Glass 6 mm. Thk.....	22
3.9 รูปอาคารทดสอบความคุณอุณหภูมิ (1) .....	23
3.10 รูปอาคารทดสอบความคุณอุณหภูมิ (2) .....	24
3.11 รูปอาคารทดสอบความคุณอุณหภูมิ (3) .....	25
3.12 รูปเครื่องมือวัดอุณหภูมิ.....	29
3.13 เครื่องมือวัดความเร็วลม .....	29
3.14 อาคารทดสอบ.....	30
3.15 อาคารทดสอบ.....	30
3.16 อาคารทดสอบ.....	31
3.17 อาคารทดสอบ.....	31
3.18 ตำแหน่งติดตั้ง Air Flow Meter .....	32
3.19 การติดตั้งสายวัดภัยในห้องทดสอบ.....	32
3.20 การติดตั้งปลายสาย Thermo Couple.....	33

รูปที่		หน้า
3.21	การวัดอุณหภูมิกระเบาะเปียก.....	33
3.22	สภาพห้องฟ้า วันที่ 23 กุมภาพันธ์ 2537 .....	34
3.23	สภาพห้องฟ้า วันที่ 25 กุมภาพันธ์ 2537 .....	34
3.24	1. อาร์เมอร์วอลล์ (Armour Wall) .....	35
3.25	2. ผนังไม้ $1\frac{1}{2}'' \times 6''$ ดีช้อนเกล็ด (Wooden Wall).....	35
3.26	3. ผนังอลูโคบอนด์ (Alucobond Wall).....	36
3.27	4. ผนังก่ออิฐฉาบปูนฉาบฉวน ICC. ( $4''$ Masonry Wall with ICC. Insulation) .....	36
3.28	5. ผนัง GRC. กรุฉวน 2 นิ้ว (GRC. Wall with $2''$ Insulation) .....	37
3.29	6. ผนังก่ออิฐฉาบปูนครึ่งแผ่น ( $4''$ Masonry Wall).....	37
3.30	7. ผนังก่ออิฐฉาบปูนเต็มแผ่น ( $8''$ Masonry Wall).....	38
3.31	8. ผนังกระจกใส 6 มม. (6mm. Clear Glass Wall).....	38

## สารบัญกราฟ

กราฟที่	หน้า
4.1 กราฟแสดงการเปรียบเทียบอุณหภูมิผิวภายนอก Armour Wall .....	47
4.2 กราฟแสดงการเปรียบเทียบอุณหภูมิผิวภายนอกใน Armour Wall.....	48
4.3 กราฟแสดงการเปรียบเทียบอุณหภูมิผิวภายนอก Wooden Wall.....	50
4.4 กราฟแสดงการเปรียบเทียบอุณหภูมิผิวภายนอกใน Wooden Wall.....	51
4.5 กราฟแสดงการเปรียบเทียบอุณหภูมิผิวภายนอก Alucobond Wall.....	53
4.6 กราฟแสดงการเปรียบเทียบอุณหภูมิผิวภายนอกใน Alucobond Wall.....	54
4.7 กราฟแสดงการเปรียบเทียบอุณหภูมิผิวภายนอก Masonry Wall with ICC.....	56
4.8 กราฟแสดงการเปรียบเทียบอุณหภูมิผิวภายนอกใน Masonry Wall with ICC.....	57
4.9 กราฟแสดงการเปรียบเทียบอุณหภูมิผิวภายนอก GRC. Wall.....	59
4.10 กราฟแสดงการเปรียบเทียบอุณหภูมิผิวภายนอก ใน GRC. Wall.....	60
4.11 กราฟแสดงการเปรียบเทียบอุณหภูมิผิวภายนอก 8" Masonry Wall .....	62
4.12 กราฟแสดงการเปรียบเทียบอุณหภูมิผิวภายนอก ใน 8" Masonry Wall .....	63
4.13 กราฟแสดงการเปรียบเทียบอุณหภูมิผิวภายนอก 6 mm. Clear Glass Wall.....	65
4.14 กราฟแสดงการเปรียบเทียบอุณหภูมิผิวภายนอก ใน 6 mm. Clear Glass Wall.....	66
4.15 กราฟเปรียบเทียบ Heat Gain ระหว่างวัดจริงและคำนวน Armour Wall.....	76
4.16 กราฟเปรียบเทียบ Heat Gain ระหว่างวัดจริงและคำนวน Wooden Wall.....	77
4.17 กราฟเปรียบเทียบ Heat Gain ระหว่างวัดจริงและคำนวน Alucobond Wall.....	78
4.18 กราฟเปรียบเทียบ Heat Gain ระหว่างวัดจริงและคำนวน ICC Wall.....	79
4.19 กราฟเปรียบเทียบ Heat Gain ระหว่างวัดจริงและคำนวน GRC Wall.....	80
4.20 กราฟเปรียบเทียบ Heat Gain ระหว่างวัดจริงและคำนวน 4" Masonry Wall.....	81
4.21 กราฟเปรียบเทียบ Heat Gain ระหว่างวัดจริงและคำนวน 8" Masonry Wall.....	82

กราฟที่	หน้า
4.22 กราฟเปรียบเทียบ Heat Gain ระหว่างวัสดุจริงและคำนวน 6 mm. Clear Glass Wall.....	83
4.23 กราฟเปรียบเทียบ Heat Gain Armour Wall VS. 4" Masonry Wall .....	93
4.24 กราฟเปรียบเทียบ Heat Gain Wooden Wall VS. 4" Masonry Wall.....	94
4.25 กราฟเปรียบเทียบ Heat Gain Alucobond Wall VS. 4" Masonry Wall.....	95
4.26 กราฟเปรียบเทียบ Heat Gain ICC. Wall VS. 4" Masonry Wall.....	96
4.27 กราฟเปรียบเทียบ Heat Gain GRC. Wall VS. 4" Masonry Wall.....	97
4.28 กราฟเปรียบเทียบ Heat Gain 8" Masonry Wall VS. 4" Masonry Wall .....	98
4.29 กราฟเปรียบเทียบ Heat Gain 6 mm. Clear Glass Wall VS. 4" Masonry Wall.....	99

## คำอธิบายสัญลักษณ์ และคำย่อ

Q	ปริมาณความร้อนที่ผ่านรูปองศาค่าด้านใด ๆ
U	สัมประสิทธิ์การถ่ายเทความร้อนของผนัง
A	พื้นที่ผนัง
CLTD	ค่าความแตกต่างอุณหภูมิเทียบเท่าระหว่างภายนอกและภายในอาคาร
OA	อุณหภูมิอากาศภายนอกอาคาร
IA	อุณหภูมิอากาศภายในอาคาร
OS	อุณหภูมิภายนอกอาคาร
IS	อุณหภูมิภายในอาคาร
WB	อุณหภูมิกระเพาะเปียก
Rad	ค่าการแผ่รังสี
RH	ความชื้นสัมพัทธ์
WS	ความเร็วลม

### อักษรห้อยท้าย

- Armr (1) อาร์เมอร์วอลล์ (Armour Wall)
- Wood (2) ผนังไม้ 1/2"x6" ตีซ้อนเกล็ด ภายนอกรูบบอร์ด 9 มม.
- Aluc (3) ผนังอลูโคบอนด์ (Alucobond) 4 มม. ภายนอกรูบบอร์ด 9 มม.
- ICC (4) ผนังก่ออิฐครึ่งแผ่น ภายนอกฉาบด้วยฉนวน ICC.
- GRC (5) ผนัง จี.อาร์.ซี. (G.R.C.) ภายนอกรูบบอร์ด 9 มม. + ฉนวนโฟมหนา 2 นิ้ว
- 4Mas (6) ผนังก่ออิฐครึ่งแผ่นฉาบปูนเรียบ 2 ด้าน
- 8Mas (7) ผนังก่ออิฐเต็มแผ่นฉาบปูนเรียบ 2 ด้าน
- Glass (8) ผนังกระจกใส หนา 6 มม.